

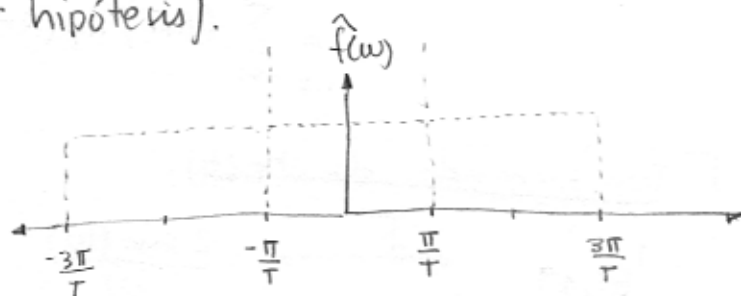
Teorema 3.1: Si el soporte de \hat{f} está incluido en $[-\pi/T, \pi/T]$ entonces

$$f(t) = \sum_{-\infty}^{\infty} f(nT) h_T(t - nT) \quad (3.7)$$

con $h_T(t) = \frac{\sin(\pi t/T)}{\pi t/T} \quad (3.8)$

Demostración:

Si $n \neq 0$ el soporte de $\hat{f}(\omega - 2n\pi/T)$ no intersecta el soporte de $\hat{f}(\omega)$ porque $\hat{f}(\omega) = 0$ para $|\omega| > \pi/T$ (por hipótesis).



La fórmula (3.3):

$$\hat{f}_d(\omega) = \frac{1}{T} \sum_{-\infty}^{\infty} \hat{f}\left(\omega - \frac{2k\pi}{T}\right) \quad (3.3)$$

Aplicada a nuestra $\hat{f}(\omega)$ de soporte compacto implica que

$$\hat{f}_d(\omega) = \frac{1}{T} \hat{f}(\omega) \quad \text{si } |\omega| \leq \frac{\pi}{T} \quad [3.9]$$

La transformada de Fourier de h_T es $\hat{h}_T = T \cdot 1_{[-\pi/T, \pi/T]}$ (por (2.28) y propiedades de escalado) y como el soporte de \hat{f} está en $[-\pi/T, \pi/T]$, resulta de [3.9] que

$$\hat{h}_T(\omega) \hat{f}_d(\omega) = T \cdot 1_{[-\pi/T, \pi/T]} \cdot \frac{\hat{f}(\omega)}{T}$$

$$\hat{h}_T(\omega) \cdot \hat{f}_d(\omega) = \hat{f}(\omega)$$

Aplicando la transformada inversa de Fourier y el teo. de convolución [2.16]:

$$f(t) = h_T(t) * f_d(t)$$

$$= h_T(t) * \sum_{n=-\infty}^{\infty} f(nT) \delta(t-nT)$$

Por ecuación 3.1

$$= \int_{-\infty}^{\infty} h_T(t-u) \sum_{n=-\infty}^{\infty} f(nT) \delta(u-nT) du$$

$$= \sum_{n=-\infty}^{\infty} \int_{-\infty}^{\infty} h_T(t-u) f(nT) \delta(u-nT) du$$

$$= \sum_{n=-\infty}^{\infty} f(nT) h_T(t-nT)$$

por def. delta de Dirac

Transformada de $h_T(t)$.

$$1_{[-1,1]} \xleftrightarrow{F} \frac{2 \sin(\omega)}{\omega}$$

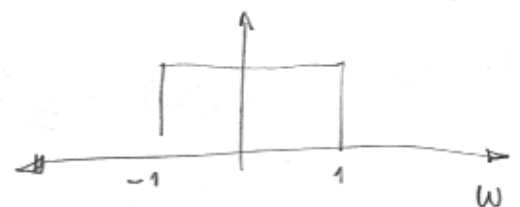
$$\frac{2 \sin(t)}{t} \xleftrightarrow{F} 2\pi 1_{[-1,1]}$$

prop (2.15)

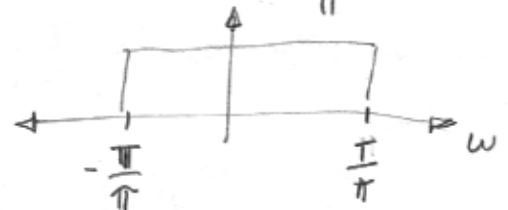
$$\frac{2 \sin(\frac{\pi}{T} t)}{\frac{\pi}{T} t} \xleftrightarrow{F} \frac{2\pi \cdot T}{\pi} 1_{[-\frac{\pi}{T}, \frac{\pi}{T}]}$$

prop (2.20) con $s = \frac{T}{\pi}$

$$\frac{\sin(\frac{\pi}{T} t)}{\frac{\pi}{T} t} \xleftrightarrow{F} T \cdot 1_{[-\frac{\pi}{T}, \frac{\pi}{T}]}$$



multiplico por $\frac{T}{\pi}$



Para que valga 1 ó -1,

$$\omega \in [-\frac{\pi}{T}, \frac{\pi}{T}]$$

Aliasing

Si el soporte de \hat{f} no está incluido en $[-\frac{\pi}{T}, \frac{\pi}{T}]$, la fórmula (3.7) no reconstruye correctamente f .

La proposición 3.1 demuestra que la transf. de Fourier de la señal discreta obtenida a partir de muestrear f a intervalos T es:

$$\hat{f}_d(\omega) = \frac{1}{T} \sum_{k=-\infty}^{\infty} \hat{f}\left(\omega - \frac{2\pi k}{T}\right).$$

Demostración

como $\delta(t-nT)$ es cero fuera de $t=nT$

$$f(nT) \delta(t-nT) = f(t) \delta(t-nT)$$

entonces se puede reescribir 3.1 como una multiplicación con un tren de impulsos:

$$f_d(t) = f(t) \sum_{n=-\infty}^{\infty} \delta(t-nT) = f(t)c(t)$$

Su transformada de Fourier es:

$$[1] \quad \hat{f}_d(\omega) = \frac{\hat{f}(\omega) * \hat{c}(\omega)}{2\pi} \quad \text{por 2.17}$$

La fórmula de Poisson demuestra que

$$\hat{c}(\omega) = \frac{2\pi}{T} \sum_{k=-\infty}^{\infty} \delta\left(\omega - \frac{2\pi k}{T}\right) \quad \text{por 2.37}$$

reemplazando en [1], obtenemos:

$$\begin{aligned} \hat{f}_d(\omega) &= \frac{1}{2\pi} \hat{f}(\omega) * \frac{2\pi}{T} \sum_{k=-\infty}^{\infty} \delta\left(\omega - \frac{2\pi k}{T}\right) \\ &= \frac{1}{T} \int_{-\infty}^{\infty} \sum_{k=-\infty}^{\infty} \hat{f}(u) \delta\left(u + \frac{2\pi k}{T} - \omega\right) du \end{aligned}$$

por def. de convolución

Probamos que pasa en la integral y sumatoria intercambiadas:

$$\sum_{k=-\infty}^{\infty} \int_{-\infty}^{\infty} |\hat{f}(u)| \delta(u + \frac{2\pi k}{T} - \omega) du = \sum_{k=-\infty}^{\infty} \int_{-\infty}^{\infty} |\hat{f}(u)| \delta(u + \frac{2\pi k}{T} - \omega) du$$

Por prop. convolución con δ , $\hat{f} * \delta(\omega - \varepsilon) = \hat{f}(\omega - \varepsilon)$

$$= \sum_{k=-\infty}^{\infty} \left| \hat{f}\left(\omega - \frac{2\pi k}{T}\right) \right| < \infty$$

Los teoremas de Fubini y Tonelli nos permiten intercambiar el orden de la integral y la sumatoria. De esta forma, teniendo en cuenta el resultado anterior:

$$\frac{1}{T} \int_{-\infty}^{\infty} \sum_{k=-\infty}^{\infty} \hat{f}(u) \delta(u + \frac{2\pi k}{T} - \omega) du = \frac{1}{T} \sum_{k=-\infty}^{\infty} \int_{-\infty}^{\infty} \hat{f}(u) \delta(u + \frac{2\pi k}{T} - \omega) du = \frac{1}{T} \sum_{k=-\infty}^{\infty} \hat{f}\left(\omega - \frac{2\pi k}{T}\right)$$

De esta forma, tenemos que

$$\hat{f}_d(\omega) = \frac{1}{T} \sum_{k=-\infty}^{\infty} \hat{f}\left(\omega - \frac{2\pi k}{T}\right)$$

[A]

Si sucede que el soporte de \hat{f} se sale del intervalo $[-\frac{\pi}{T}, \frac{\pi}{T}]$, los componentes de \hat{f} en las frecuencias altas se van a solapar con los componentes de \hat{f} en las frecuencias bajas. Este fenómeno se denomina "aliasing".

En presencia de alias, la
señal interpolada

$$h_T * f_d(t) = \sum_{n=-\infty}^{\infty} f(nT) h_T(t - nT) \quad (\text{por teo. 3.1})$$

Tiene transformada de Fourier

$$\hat{f}_d(\omega) \cdot \hat{h}_T(\omega) = T \mathbf{1}_{\left[-\frac{\pi}{T}, \frac{\pi}{T}\right]}(\omega) \hat{f}_d(\omega) \quad \text{por def. de } \mathcal{F}\{h_T\}$$

$$(3.11) \quad = \mathbf{1}_{\left[-\frac{\pi}{T}, \frac{\pi}{T}\right]}(\omega) \sum_{k=-\infty}^{\infty} \hat{f}\left(\omega - 2k\frac{\pi}{T}\right) \quad \text{por [A]}$$

que puede ser muy distinto a $\hat{f}(\omega)$ sobre el intervalo $\left[-\frac{\pi}{T}, \frac{\pi}{T}\right]$.

Proposición 3.2: El conjunto de funciones $\{h_T(t-nT)\}_{n \in \mathbb{Z}}$, con las funciones interpolantes $h_T(t) = \frac{\sin(\pi t/T)}{\pi t/T}$ forma una base ortogonal para las señales cuya transformada de Fourier tienen soporte incluidos en $[-\frac{\pi}{T}, \frac{\pi}{T}]$.

Demostración

$\{h_T(t-nT)\}_{n \in \mathbb{Z}}$ es ortogonal

Como $\hat{h}_T = T 1_{[-\frac{\pi}{T}, \frac{\pi}{T}]}$ por (2.28) y propiedades de escalado, aplicando la fórmula de Parseval (2.25) se obtiene:

$$\langle h_T(t-nT), h_T(t-pT) \rangle = \frac{1}{2\pi} \int_{-\infty}^{\infty} \hat{h}_T(t-nT) \hat{h}_T^*(t-pT) d\omega$$

$$\text{como } \mathcal{F}\{h_T(t-nT)\} = T 1_{[-\frac{\pi}{T}, \frac{\pi}{T}]} e^{-inT\omega} \quad \text{y} \quad \hat{h}_T^* = T 1_{[-\frac{\pi}{T}, \frac{\pi}{T}]} e^{inT\omega}$$

$$\langle h_T(t-nT), h_T(t-pT) \rangle = \frac{1}{2\pi} \int_{-\infty}^{\infty} T^2 1_{[-\frac{\pi}{T}, \frac{\pi}{T}]} e^{-i(n-p)T\omega} d\omega$$

$$= \frac{T^2}{2\pi} \int_{-\frac{\pi}{T}}^{\frac{\pi}{T}} e^{-i(n-p)T\omega} d\omega$$

$$\text{Cuando } n=p, \quad \frac{T^2}{2\pi} \int_{-\frac{\pi}{T}}^{\frac{\pi}{T}} 1 d\omega = T.$$

$$\begin{aligned} \text{Cuando } n \neq p, \quad \text{si llamamos } A = (n-p)T \\ \frac{T^2}{2\pi} \int_{-\frac{\pi}{T}}^{\frac{\pi}{T}} e^{-iAT\omega} d\omega &= \frac{T^2}{2\pi} \int_{-\frac{\pi}{T}}^{\frac{\pi}{T}} \cos(AT\omega) d\omega - i \underbrace{\int_{-\frac{\pi}{T}}^{\frac{\pi}{T}} \sin(AT\omega) d\omega}_{=0} \\ &= \frac{T^2}{2\pi} \left(\frac{\sin AT\omega}{AT} \right) \Big|_{-\frac{\pi}{T}}^{\frac{\pi}{T}} \end{aligned}$$

Como $n, p \in \mathbb{Z}$,
 $n-p \in \mathbb{Z}$ y
 $\sin(n-p)\pi = 0.$

$$= \frac{T^2}{2\pi} \left(\frac{2 \sin A\pi}{AT} \right) = 0$$

De esta forma, vemos que

$$\langle h_T(t-nT), h_T(t-pT) \rangle = \begin{cases} T & \text{si } n=p \\ 0 & \text{si } n \neq p \end{cases}$$

y podemos escribir

$$\langle h_T(t-nT), h_T(t-pT) \rangle = T \delta[n-p]$$

claramente, la familia $\{h_T(t-nT)\}_{n \in \mathbb{Z}}$ es ortogonal y el teorema de Shannon-Whittaker (3.7) demuestra que cualquier f con soporte en $[-\frac{\pi}{T}, \frac{\pi}{T}]$ puede ser expresada como combinación lineal de $\{h_T(t-nT)\}_{n \in \mathbb{Z}}$. Entonces, las $\{h_T(t-nT)\}$ son una base ortogonal para las f cuya transformada tiene soporte en $[-\frac{\pi}{T}, \frac{\pi}{T}]$, es decir

$$f(nT) = \frac{1}{T} \langle f(t), h_T(t-nT) \rangle \quad [2]$$

Demostración [2]: Utilizando la fórmula de Parseval (2.25)

$$\langle f(t), h_T(t-nT) \rangle = \frac{1}{2\pi} \int_{-\infty}^{\infty} \hat{f}(w) \hat{h}_T^*(t-nT) dw$$

$$= \frac{T}{2\pi} \int_{-\infty}^{\infty} \hat{f}(w) \cdot \chi_{[-\frac{\pi}{T}, \frac{\pi}{T}]} e^{inTw} dw$$

como el escalón $\chi_{[-\frac{\pi}{T}, \frac{\pi}{T}]}$ y $\hat{f}(w)$ tienen soporte en $[-\frac{\pi}{T}, \frac{\pi}{T}]$

$$= \frac{T}{2\pi} \int_{-\frac{\pi}{T}}^{\frac{\pi}{T}} \hat{f}(w) e^{inTw} dw = T f(nT)$$

↑
por def. de Transf.
inversa de Fourier

Teorema 3.3

Gua 2 - Ej 5

Si $f \in l^1(\mathbb{Z})$ y $h \in l^1(\mathbb{Z})$ entonces $g = f * h \in l^1(\mathbb{Z})$ y

$$\hat{g}(w) = \hat{f}(w) \cdot \hat{h}(w)$$

¿ $g[n] \in l^1(\mathbb{Z})$?

$$\text{Sea } g[n] = \sum_{k=-\infty}^{\infty} f[k]h[n-k]$$

$$\begin{aligned} \sum_{n=-\infty}^{\infty} |g[n]| &= \sum_{n=-\infty}^{\infty} \left| \sum_{k=-\infty}^{\infty} f[k]h[n-k] \right| \leq \sum_{n=-\infty}^{\infty} \sum_{k=-\infty}^{\infty} |f[k]h[n-k]| \leq \\ &\leq \sum_{k=-\infty}^{\infty} \sum_{n=-\infty}^{\infty} |f[k]| |h[n-k]| \\ &\leq \underbrace{\sum_{k=-\infty}^{\infty} |f[k]|}_{< \infty} \underbrace{\sum_{n=-\infty}^{\infty} |h[n-k]|}_{< \infty} < \infty \end{aligned}$$

de esta forma, $g[n] \in l^1(\mathbb{Z})$.

$$\hat{g}(w) = \sum_{n=-\infty}^{\infty} e^{-inw} g[n] = \sum_{n=-\infty}^{\infty} e^{-inw} \left(\sum_{k=-\infty}^{\infty} f[k]h[n-k] \right)$$

$$= \sum_{n=-\infty}^{\infty} \sum_{k=-\infty}^{\infty} e^{-inw} f[k]h[n-k]$$

$$\text{Si } v = n - k \\ n = v + k$$

$$= \sum_{v+k=-\infty}^{\infty} \sum_{k=-\infty}^{\infty} e^{-i(v+k)w} f[k]h[v]$$

$$= \sum_{k=-\infty}^{\infty} e^{-ikw} f[k] \sum_{v+k=-\infty}^{\infty} e^{-ivw} h[v]$$

$$= \hat{f}(w) \cdot \hat{h}(w)$$

$$S_1 \quad f \in \ell^1(\mathbb{Z}) \Rightarrow \sum_{k=-\infty}^{\infty} |f[k]| < \infty$$

$$\begin{aligned} \hat{f}(\omega) &= \sum_{k=-\infty}^{\infty} e^{-i\omega k} f[k] \leq \sum_{k=-\infty}^{\infty} |e^{-i\omega k} f[k]| \\ &\leq \sum_{k=-\infty}^{\infty} |e^{-i\omega k}| |f[k]| \\ &\leq \sum_{k=-\infty}^{\infty} |f[k]| < \infty \end{aligned}$$

Sea $g[n] = (-1)^n h[n]$. Encuentre

Guia 2 - Ej 6

la relación entre $\hat{g}(\omega)$ y $\hat{h}(\omega)$. Si h es un filtro pasabajos, ¿puede $\hat{g}(\omega)$ ser también pasabajos?

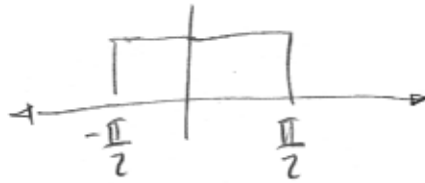
$$\hat{g}(\omega) = \sum_{n=-\infty}^{\infty} (-1)^n h[n] e^{-jn\omega}$$

como $(-1)^n = e^{-i\pi n}$

$$\hat{g}(\omega) = \sum_{n=-\infty}^{\infty} h[n] e^{i\pi n} e^{jn\omega} = \hat{h}(\omega + \pi)$$

Si h es un filtro pasa bajos entonces g es un pasa altos

$h(\omega)$ pasabajos ideal :



$g(\omega) = h(\omega + \pi)$
pasa altos



Demuestre que si $f_a(t)$ es una función analítica, entonces está enteramente caracterizada por su parte real $f = \text{Re}[f_a]$ y es

$$\hat{f}(w) = \frac{\hat{f}_a(w) + \hat{f}_a^*(-w)}{2}$$

$$f = \text{Re}[f_a] = \frac{f_a + f_a^*}{2}$$

f_a^* es el conjugado complejo

$$\hat{f}(w) = \mathcal{F}\left(\frac{f_a + f_a^*}{2}\right)$$

por linealidad
de \mathcal{F}

$$= \frac{1}{2} [\mathcal{F}(f_a) + \mathcal{F}(f_a^*)]$$

$$[2.23] \quad f^*(t) \xrightarrow{\mathcal{F}} f^*(-w)$$

$$= \frac{\hat{f}_a(w) + \hat{f}_a^*(-w)}{2}$$

Demuestre que si $f(t) = a \cos(\omega_0 t + \phi)$, [Guia 2 - Ej 8]

entonces la función analítica asociada es

$$f_a(t) = a e^{i(\omega_0 t + \phi)}$$

$$f(t) = a \cos(\omega_0 t + \phi)$$

como $\cos(\omega_0 t + \phi) = \frac{e^{i(\omega_0 t + \phi)} + e^{-i(\omega_0 t + \phi)}}{2}$, podemos escribir

$$f(t) = \frac{a}{2} \left[e^{i(\omega_0 t + \phi)} + e^{-i(\omega_0 t + \phi)} \right]$$

$$e^{i\omega_0 t} \xleftrightarrow{F} 2\pi \delta(\omega - \omega_0)$$

$$\hat{f}(\omega) = \pi a \left[e^{i\phi} \delta(\omega - \omega_0) + e^{-i\phi} \delta(\omega + \omega_0) \right]$$

Una función f es analítica si $f(\omega) = 0$ cuando $\omega = 0$. [Mallat p. 84]
Del ejercicio anterior y la ecuación [4.47] de Mallat tenemos que

$$\hat{f}_a(\omega) = \begin{cases} 2\hat{f}(\omega), & \text{si } \omega \geq 0 \\ 0, & \text{si } \omega < 0 \end{cases}$$

Por lo que $\hat{f}_a(\omega) = 2a\pi e^{i\phi} \delta(\omega - \omega_0)$ y antitransformando obtenemos que

$$f_a(t) = 2a\pi e^{i\phi} \left(\frac{e^{i\omega_0 t}}{2\pi} \right) = a \cdot e^{i(\omega_0 t + \phi)}$$